

С 344, 36

22/ii-72

A-211

СООБЩЕНИЯ  
ОБЪЕДИНЕННОГО  
ИНСТИТУТА  
ЯДЕРНЫХ  
ИССЛЕДОВАНИЙ

Дубна

938/2-72

P13 - 6223



С.Р. Аврамов, С.И. Орманджиев

Методы и алгоритмы

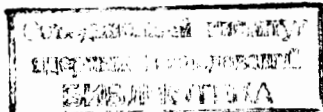
РАСЧЕТНОЕ РАЗРЕШАЮЩЕЕ ВРЕМЯ И ВРЕМЯ  
ВОССТАНОВЛЕНИЯ ПОСЛЕ АМПЛИТУДНОЙ  
ПЕРЕГРУЗКИ ФОРМИРОВАТЕЛЕЙ С RC ЦЕПЯМИ

**1972**

P13 - 6223

С.Р.Аврамов, С.И.Орманджиев

РАСЧЕТНОЕ РАЗРЕШАЮЩЕЕ ВРЕМЯ И ВРЕМЯ  
ВОССТАНОВЛЕНИЯ ПОСЛЕ АМПЛИТУДНОЙ  
ПЕРЕГРУЗКИ ФОРМИРОВАТЕЛЕЙ С RC ЦЕПЯМИ



Загрузочные характеристики спектрометрических усилителей определяются параметром "разрешающее время"/1/, который не дает точного представления о возможностях использованного типа формирования. Иногда используют параметр "эффективное разрешающее время"/2/, легко применимый для экспериментального определения загрузочной способности. В/3/ сделан расчет эффективного разрешающего времени для однократного дифференцирования. Время восстановления усилителя после амплитудной перегрузки определялось экспериментально в/3,4/, где дана и формулировка условий эксперимента.

В указанной литературе нет общих математических выражений как для расчета временного интервала между импульсами при заданной погрешности от наложения, так и для теоретического предела времени восстановления формирующего устройства после амплитудной перегрузки и числовых данных к ним.

В настоящей работе дано определение максимального интервала между импульсами в **RC** формирователях с одно-, дву- и трехкратным дифференцированием, при заданной погрешности определения амплитуды импульсов, а также определение времени восстановления после амплитудной перегрузки. Введен термин "расчетное разрешающее время" для нахождения временного интервала между импульсами. Получены аналитические формулы для указанных двух случаев и числовые значения при разном количестве интегрирующих звеньев. В формулах отражены два возможных случая работы: когда константы времени формирования оптимальны для каждой кратности дифференцирования и когда константы времени при двухкратном и трехкратном дифференцировании равны константам времени при однократном дифференцировании. Определено отношение шум/сигнал при неоптимальном формировании для случаев дву- и трехкратного дифференцирования.

Полученные результаты сравниваются с результатами, получающимися при вычислении по классическому определению разрешающего времени.

### Расчетное разрешающее время $t_p (\psi)$

Под расчетным разрешающим временем  $t_p (\psi)$  будем понимать временной интервал между первыми максимумами двух следующих один за другим импульсами с одинаковыми амплитудами, причем амплитуда второго импульса изменяется на долю  $\psi$  своей номинальной величины из-за наложения. Величина  $\psi$  должна задаваться погрешностями амплитудных измерений. Для сцинтиляционных приборов примем  $\psi = 10^{-2}$ , для приборов с полупроводниковыми детекторами  $-\psi = 10^{-3}$ , однако тенденция развития этих приборов даст в недалеком будущем  $\psi = 10^{-4}$ . Для ясности при написании разрешающего времени в скобках будем давать численную величину погрешности.

Определение расчетного разрешающего времени сводится к решению относительно  $t$  уравнения

$$\psi U_{M1} = U(t, \tau, n, m), \quad (1)$$

где  $\psi$  – относительная погрешность первого максимума второго импульса,  $U_{M1}$  – величина первых максимумов импульсов,  $\tau$  – константы времени единичных **RC** цепей (все константы времени приняты одинаковыми),  $n$  – количество интегрирующих звеньев,  $m$  – количество дифференцирующих звеньев. После определения  $t$  вычтем из полученной величины время достижения первого максимума.

Все формулы выведены при условии, что на вход формирующей системы подается единичное напряжение. Для случая **RC** формирования получаются трансцендентные уравнения, которые могут быть решены или приближенным аналитическим представлением зависимости  $t(\tau, n, m, \psi)$  или с помощью вычислительных машин.

При приближенном аналитическом представлении можно использовать то, что при  $\psi \leq 10^{-2}$  падающий участок функции после последнего максимума может быть представлен достаточно точно (с ошибкой <10%) экспоненциальной функцией:

$$U(t) = e^{-\sigma \frac{t}{r} + b}. \quad (2)$$

Тогда определение расчетного разрешающего времени сводится к определению времени достижения первого и последнего максимумов  $t_{M1}$  и  $t_{Mm}$  и временного интервала  $t_p(\psi)$  между последним максимумом и точкой  $\psi U_{M1}$ :

$$t_p(\psi) = t_{Mm} - t_{M1} + t_\psi. \quad (3)$$

Из работы <sup>/5/</sup> возьмем выражения для  $t_{M1}$  и  $t_{Mm}$ . Выражение для  $t_\psi$  при  $m = 1$  и разных  $n, r$  определено в приложении (1). Полученная окончательная формула имеет вид:

$$t_p(\psi) = r \frac{x_0 + b - \ln \psi \mathcal{L}}{a}. \quad (4)$$

Числовые величины коэффициентов  $a$  и  $b$  и величина разрешающего времени для оптимального  $r$  даны в таблице 1.

Аналогичным образом получены выражения для  $t_p(\psi)$  при  $m = 2$ . Формула имеет вид (см. приложение 2):

$$t_p(\psi) = r (2\sqrt{n+1} + \frac{x_0 + b - \ln \psi \mathcal{L}}{a}). \quad (5)$$

Коэффициенты  $a$ ,  $b$ ,  $x_0$ ,  $\mathcal{L}$ ,  $t_p(\psi)$  и  $t_b(\psi)$  даны в таблице 2.  $r_{m1}$  соответствует оптимальной величине при  $m = 1$ ,  $r_{m2}$  соответствует оптимальной величине при  $m = 2$ .

При  $m = 3$  получена (см. приложение 3) формула:

$$t_p(\psi) = r \{ 2\sqrt{n+2} [\cos \frac{\phi_0}{3} + \sin(-\frac{\phi_0}{3} + 30^\circ)] + \frac{x_0 + b - \ln \psi \mathcal{L}}{a} \}. \quad (6)$$

Величины коэффициентов  $a$ ,  $b$ ,  $x_0$ ,  $\mathcal{L}$ , а также  $t_p(\psi)$  для  $r = r_{m1}$  и для  $r = r_{m2}$  даны в таблице 3.

Таблица I

$n$	$a$	$b$	$x_0$	$\mathfrak{L}$	$t_p(\psi) / \sqrt{A/B}$			$t_b(\psi) / \tau$			$\frac{N}{s}$
					$10^{-2}$	$10^{-3}$	$10^{-4}$	$10^{-2}$	$10^{-3}$		
1	0,92	0,56	I	I	6,6	9,2	II,8	II,8	I4,2	I,36	
2	0,85	I,43	2	4	4,5	6,1	7,7	I3,3	I5,9	I,22	
3	0,80	2,55	3	27	3,9	5,2	6,5	I4,5	I7,2	I,I8	
4	0,75	3,90	4	256	3,6	4,8	5,9	I5,6	I8,4	I,I6	
5	0,70	5,44	5	$3,12 \cdot 10^3$	3,4	4,5	5,5	I6,5	I9,4	I,I5	
6	0,66	7,I2	6	$4,66 \cdot 10^3$	3,2	4,3	5,2	I7,4	20,4	I,I5	

Таблица 2

$n$	$a$	$b$	$x_0$	$\mathfrak{L}$	$t_m 1$				$t_m 2$				$\frac{N}{s}$	
					$t_p(\psi) / \sqrt{A/B}$		$t_p(\psi) / \sqrt{A/B}$		$t$		$t_b(\psi) / \tau$			
					$10^{-2}$	$10^{-3}$	$10^{-2}$	$10^{-3}$	$10^{-2}$	$10^{-3}$	$10^{-2}$	$10^{-3}$		
1	0,88	0,74	0,59	0,83	9,I	I2,0	I5,8	20,8	I4,7	I7,3	I,53			
2	0,84	I,44	I,27	2,79	6,2	7,7	I0,8	I3,6	I6,6	I8,8	I,45			
3	0,79	2,74	2,00	I6	5,4	6,8	9,3	II,8	I8,3	2I,I	I,46			
4	0,76	4,24	2,76	I30	5,0	6,2	8,7	I0,8	I9,5	22,5	I,47			
5	0,73	5,89	3,55	$1,38 \cdot 10^3$	4,8	5,9	8,3	I0,2	20,9	23,9	I,49			
6	0,70	I0,03	4,35	$1,8 \cdot 10^4$	4,6	5,7	8,0	9,8	22,0	25,0	I,51			

Таблица 3

 $m = 3$ 

n	a	b	x_0	2	$t_p(\psi) / \sqrt{A/B}$			$t_b(\psi) / \tau$			$\frac{r_m}{N}$
					$10^{-2}$	$10^{-3}$	$10^{-2}$	$10^{-3}$	$10^{-2}$	$10^{-3}$	
1	0,86	0,38	0,42	1,51	10,8	14,0	2,41	31,3	17,0	19,8	1,79
2	0,83	1,62	0,94	4,72	7,4	9,3	16,5	20,9	19,2	22,1	1,81
3	0,79	3,07	1,52	24,88	6,4	8,0	14,4	17,8	21,1	24,1	1,93
4	0,77	4,70	2,14	187	6,0	7,3	13,4	16,4	22,7	25,8	2,02
5	0,74	6,48	2,81	$1,86 \cdot 10^3$	5,7	6,9	12,7	15,5	24,1	27,2	2,10
6	0,72	8,41	3,49	$2,22 \cdot 10^4$	5,5	6,6	12,3	14,8	25,4	28,7	2,14

Определение разрешения при неоптимальной константе времени в случаях  $m = 2$   $m = 3$  вызвано существованием возможности повторного дифференцирования сигнала усилителя для целей предварительного отбора поступающих импульсов<sup>5/</sup>. Определено и соотношение шум/сигнал при этих константах времени. В таблице 2 и 3 дано соотношение шум/сигнал, а в приложении 4 – относительное ухудшение разрешения в зависимости от  $n$ .

### Расчетное время восстановления после перегрузки $t_b(\psi)$

Под расчетным временем восстановления после перегрузки будем понимать временной интервал между первыми максимумами двух следующих друг за другом импульсов, первый из которых имеет амплитуду в  $N$  раз большую второго, причем амплитуда второго импульса изменяется вследствие наложения на долю  $\psi$  своей номинальной величины. В<sup>3/</sup> принято  $N = 100$  и  $\psi = 10^{-2}$ . При сегодняшних требованиях к спектрометрическим приборам более подходящей является  $\psi = 10^{-3}$ . Время восстановления определяется по тем же формулам 3,4,5 и только под знаком логарифма (см. приложение 1) нужно поставить величину  $\psi/N$ :

$$t_b(\psi) = t_{Mm} - t_{M1} + \frac{x_0 + b - \ln \frac{\psi}{N} \frac{Q}{\alpha}}{\alpha}. \quad (7)$$

При рассмотрении принимается, что в идеальном формирователе перегрузка наступает после прохождения импульса через все формирующие звенья и проявляется как обрезание перегружающего импульса выше максимума второго импульса без затягивания спада импульса. В таблицах 1,2,3 показаны численные результаты расчетов для  $\psi = 10^{-2}$  и  $\psi = 10^{-3}$ .

### Численное определение $t_p(\psi)$ и $t_b(\psi)$

Значения  $t_p(\psi)$  и  $t_b(\psi)$  можно вычислить с произвольной, наперед заданной точностью как решения уравнений вида  $z = \phi(z)$ , корни которых можно определить с помощью итерационного процесса:

$$z_0 / z_{k+1} = \phi(z_k), \quad (8)$$

который сходится к корню  $z_{IE}$  ( $a, b$ ), если

$$|\phi'(z)| \leq q < 1 \quad \text{для } z_E / a, b / .$$

В приложении 5 показано, что основные зависимости приводятся к виду (8) с правой частью, удовлетворяющей сходимости:

$$z = \frac{1}{x_0} \ln (z^n |n|) + \frac{1}{x_0} \ln \frac{1}{\psi} + 1 , \quad (9)$$

где  $x_0$  – абсцисса первого максимума

$$z = (t/r) / x_0 ,$$

$W$  – алгебраическое выражение, зависящее от  $q_1$ ,  $z$ ,  $m$  и  $n$ ,  $\psi$  – исходное значение отношения  $U(t) / U_M$ .

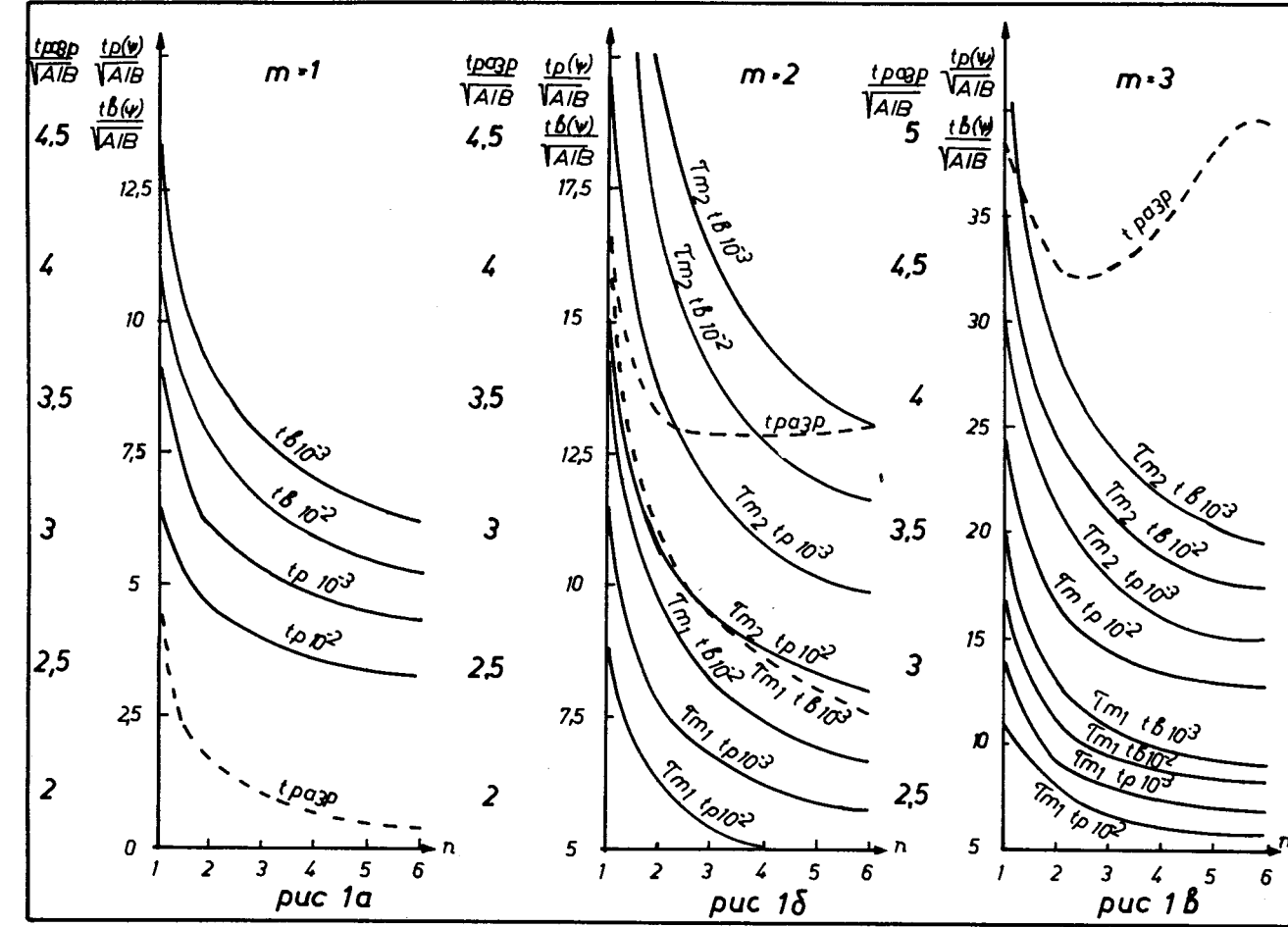
Вычисленные этим способом значения приводятся в таблицах 1, 2 и 3. Вычисления производились по программе **COPS1**, реализованной на алгоритмическом языке **FORTRAN-53** для ЭВМ **CDC-1604A**. В программе **COPS1** ошибки определения величин  $t_p(\psi)$  и  $t_b(\psi)$  меньше одного процента. Ошибка определялась в процессе вычисления в соответствии с отношением:

$$|z_{k+1} - z_k| \leq (1 - q)\epsilon/q ,$$

где  $\epsilon$  – допустимая абсолютная ошибка.

### Выводы

Из таблиц 1,2,3 и графиков на рис. 1 а,б,в видно, что расчетное разрешающее время дает большую информацию, чем разрешающее время, производимое в работе<sup>1/</sup>. Преимуществом является и то, что при этом определении можно сравнивать экспериментально полученные результаты с теоретическими и, таким образом, ввести объективную оценку качества данного конкретного усилителя. Это относится и к определению времени восстановления после амплитудной перегрузки усилителя. Из таблиц видно, что времена восстановления после амплитудных перегрузок при  $m = 1,2$  и  $3$  мало отличаются. Существенное ухудшение расчетного разрешающего времени и времени восстановления после перегрузки получается при работе с оптимальными константами формирования в случаях  $m = 2$  и  $m = 3$ . При-



веденные в таблицах 1,2,3 соотношения шум/сигнал при неоптимальном формировании показывают ухудшение этого соотношения на 7% для  $m = 2$  и на 14% - для  $m = 3$ .

Полученные формулы и таблицы, как и программа для машинного счета, могут быть использованы и при решении других аналогичных задач.

### Приложение 1

Напряжение на выходе формирующего **RC** устройства с одинаковыми константами времени при подаче единичного скачка напряжения на вход, время достижения максимума, максимальное напряжение и оптимальная константа формирования для случая  $m = 1$  имеют вид/5/:

$$U(t) = \frac{1}{n!} \left( \frac{t}{\tau} \right)^n e^{-\frac{t}{\tau}} ; \quad \frac{t}{\tau} M = n = x_0 ,$$

$$U_M = \frac{n^n}{n! e^n} + \frac{\mathcal{L}}{n! e^{x_0}} ; \quad \tau_{opt.} = \frac{1}{\sqrt{2n-1}} \sqrt{\frac{A}{B}} .$$

Смещаем начало координатной системы в точке  $x_0$ . Приближенно представим падающий участок после максимума экспонентой и приравняем функцию  $\psi U_M$ . Искомое нами решение получим, решая относительно  $t$  уравнение

$$\psi \frac{\mathcal{L}}{n! e^{x_0}} = \frac{1}{n!} e^{-a \frac{t}{\tau} + b}$$

Прологарифмируем выражение:

$$t_p(\psi) = \tau \frac{b + x_0 - \ln \psi \mathcal{L}}{a} .$$

Для определения коэффициентов приравниваем функции:

$$\left( \frac{t}{\tau} + x_0 \right)^n e^{-\left( \frac{t}{\tau} + x_0 \right)} = e^{-a \frac{t}{\tau} + b} .$$

Выбираем две точки совпадения обеих функций в области возможных решений  $\frac{t}{\tau} : \frac{t}{\tau} = x_1$  и  $\frac{t}{\tau} = x_2$  и после решения системы уравнений для коэффициентов получаем:

$$a = 1 - \frac{n}{x_2 - x_1} \ln \frac{x_2 + n}{x_1 + n},$$

$$b = n [-1 + \ln(x_2 + n) - \frac{x_2}{x_2 - x_1} \ln \frac{x_2 + n}{x_1 + n}] .$$

Численные величины коэффициентов  $a$  и  $b$  при  $x_1 = 8$  и  $x_2 = 16$  даны в таблице 1.

Определение времени восстановления после амплитудной перегрузки сводится к решению той же задачи, но при условии, что первый импульс имеет амплитуду, в  $N$  раз превышающую амплитуду второго импульса. Тогда приближенное уравнение будет иметь вид:

$$\psi \frac{\mathcal{L}}{n! e^{x_0}} = \frac{N}{n!} e^{-a \frac{t}{\tau} + b} .$$

Это выражение после логарифмирования даст:

$$t_p(\psi) = \tau \frac{x_0 + b - \ln \frac{\psi}{N} \mathcal{L}}{a} ,$$

т.е. равносильно уменьшению  $\psi$  в  $N$  раз.

## Приложение 2

Формулы для случая  $m = 2$  имеют вид <sup>/5/</sup>:

$$U(t) = \frac{1}{(n+1)!} \left( \frac{t}{\tau} \right)^n e^{-\frac{t}{\tau}(n+1 - \frac{t}{\tau})}$$

$$\frac{t_{MK}}{\tau} = n+1 \pm \sqrt{n+2} = x_{0,m} \quad K=1,2; \quad \tau_{opt.} = \tau_{m2} = \frac{\sqrt{3}}{\sqrt{2n+1}} \sqrt{\frac{A}{B}}$$

$$U_{M1} = \frac{\sqrt{n+1} (n+1 - \sqrt{n+1})^n}{(n+1)! e^{n+1 - \sqrt{n+1}}} = \frac{\mathcal{L}}{(n+1)! e^{x_0}} .$$

Смешаем начало координатной системы в точке  $t_{M2}$ . Приближенно представим участок после максимума экспонентой и приравняем функцию  $\psi$   $U_M$ :

$$\psi \frac{\mathcal{L}}{(n+1)! e^{x_0}} = \frac{1}{(n+1)!} e^{-a \frac{t}{r} + b},$$

$$t(\psi) = r \frac{x_0 + b - \ln \psi \mathcal{L}}{a}.$$

Определяем величины коэффициентов как в приложении 1:

$$-(\frac{t}{r} + x_m)^n e^{-(\frac{t}{r} + x_m)} (n+1 - \frac{t}{r} - x_m) = e^{-a \frac{t}{r} + b}$$

$$a = 1 - n \frac{1}{x_2 - x_1} (\ln \frac{x_2 + n + 1 + \sqrt{n+1}}{x_1 + n + 1 + \sqrt{n+1}} + \ln \sqrt{\frac{x_2 + \sqrt{n+1}}{x_1 + \sqrt{n+1}}})$$

$$b = -(n+1 + \sqrt{n+1}) + n [\ln(x_2 + n + 1 + \sqrt{n+1}) \sqrt{x_2 + \sqrt{n+1}} -$$

$$- \frac{x_2}{x_2 - x_1} (\ln \sqrt{\frac{x_2 + \sqrt{n+1}}{x_1 + \sqrt{n+1}}} + \ln \frac{x_2 + n + 1 + \sqrt{n+1}}{x_1 + n + 1 + \sqrt{n+1}})].$$

Численные значения коэффициентов  $a$ ,  $b$ ,  $x_0$ ,  $\mathcal{L}$  при  $x_1 = 10$  и  $x_2 = 20$  даны в таблице 2. Для определения интервала между импульсами применим формулу (3):

$$t_p(\psi) = t_{M2} - t_{M1} + t_\psi = r (2\sqrt{n+1} + \frac{x_0 + b - \ln \psi \mathcal{L}}{a}).$$

Расчетное разрешающее время для  $r = r_{opt.}$  ( $m = 1$ ) и для  $r = r_{opt.}$  ( $m = 2$ ) дано в таблице 2. Время восстановления определяем как в приложении 1.

### Приложение 3

Для  $m=3$  необходимые формулы имеют вид <sup>/5/</sup>:

$$U(t) = \frac{1}{(n+2)!} \left(\frac{t}{r}\right)^n e^{-\frac{t}{r}} \left[ \left(\frac{t}{r}\right)^2 - \frac{t}{r} 2(n+2) + (n+1)(n+2) \right],$$

$$\frac{t_{MK}}{r} = n+2 + 2\sqrt{n+2} \cos \frac{\phi_0 + 2\pi K}{3} = x_{0,m}, \quad K = 1, 2, 3,$$

$$U_{M1} = \frac{(n+2+2\sqrt{n+2} \cos \frac{\phi_0 + 2\pi K}{3})^n (n+2)}{(n+2)! e^{x_0}} [4 \sin^2(30^\circ + \frac{\phi_0}{3}) - 1] = \frac{\mathcal{L}}{(n+2)! e^{x_0}}$$

$$\psi = \frac{\mathcal{L}}{(n+2)! e^{x_0}} = \frac{1}{(n+2)!} e^{-a \frac{t}{r} + b}$$

$$t(\psi) = \frac{x_0 + b - \ln \psi \frac{\mathcal{L}}{a}}{a}.$$

Определяем величины коэффициентов как в приложении 1.

$$\left(\frac{t}{r} + x_m\right)^n e^{-\left(\frac{t}{r} + x_m\right)} \left[ \left(\frac{t}{r} + x_m\right)^2 - \left(\frac{t}{r} + x_m\right) 2(n+2) + (n+1)(n+2) \right] = e^{-a \frac{t}{r} + b}$$

$$a = 1 - \frac{n}{x_2 - x_1} \ln \frac{x_2 + x_m}{x_1 + x_m} \sqrt[n]{\frac{D_2}{D_1}},$$

$$D_p = [(x_p + x_m)^2 - (x_p + x_m) 2(n+2) + (n+1)(n+2)] \quad p = 1, 2,$$

$$b = -x_m + n [\ln(x_2 + x_m) \sqrt[n]{D_2} - \frac{x_2}{x_2 - x_1} \ln \frac{x_2 + x_m}{x_1 + x_m} \sqrt[n]{\frac{D_1}{D_2}}].$$

Если воспользоваться формулой (3) для расчетного разрешающего времени, получим:

$$t_p(\psi) = 2\sqrt{n+2} [\cos \frac{\phi_0}{3} + \sin (\frac{\phi_0}{3} + 30^\circ)] + \frac{x_0 + b - \ln \psi \frac{\mathcal{L}}{a}}{a}.$$

Коэффициенты  $a$ ,  $b$ ,  $x_0$ ,  $\varrho$  вычисляем для  $x_1 = 12$  и  $x_2 = 24$ . Эти значения даны в таблице (3). Определение времени восстановления проводится как в приложении 1. Результаты вычислений даны в той же таблице.

#### Приложение 4

Соотношение шум/сигнал при неоптимальном формировании определяется формулами/5/. Для  $m = 2$  будем иметь:

$$\overline{U}_{\text{ш}}^2 = \frac{(2n-2)!}{[(n-1)!]^2 2^{2n+2} n(n+1)} [A \frac{3}{r} + B r (2n-1)]'.$$

Положим

$$r = r_{\text{opt.}}(m=1) = \frac{1}{\sqrt{2n-1}} \sqrt{\frac{A}{B}},$$

$$\frac{N}{S} = \frac{e^{(n+1-\sqrt{n+1})}}{2^n (n+1-\sqrt{n+1})^n} \sqrt[3]{\frac{n(2n-2)!}{n(2n-1)}} \sqrt[4]{2n-1} \sqrt[4]{AB} \sim 1,07 \left(\frac{N}{S}\right)_{\text{opt.}}$$

Для  $m = 3$

$$\overline{U}_{\text{ш}}^2 = \frac{3(2n-2)!}{[(n-1)!]^2 2^{2n+3} n(n+1)(n+2)} [A \frac{5}{r} + B r (2n-1)].$$

Положим

$$\begin{aligned} r &= r_{\text{opt.}}(m=1) = \frac{1}{\sqrt{2n-1}} \sqrt{\frac{A}{B}}, \\ \frac{N}{S} &= \frac{e^{(n+2-2\sqrt{n+2} \sin(30^\circ + \frac{\phi_0}{3})}}}{2^{n+2} [n+2-2\sqrt{n+2} \sin(30^\circ + \frac{\phi_0}{3})] [\sin^2(30^\circ + \frac{\phi_0}{3}) - 0,25]} \sqrt[3]{0,75(2n-2)!n(n+1)(n+2)} \sqrt[4]{AB} = 1,14 \left(\frac{N}{S}\right)_{\text{opt.}} \end{aligned}$$

Численные значения  $N/S$  даны в таблицах 2 и 3.

## Приложение 5

Общее выражение для основных соотношений представим в виде

$$U_m(x) = x^n e^{-x} P_{m-1}(x),$$

где  $x = t/\tau$  и  $P_{m-1}$  – полином степени  $m-1$  ( $m$  – число диф. цепей). Для вычисления величин  $t_p(\psi)$  и  $t_b(\psi)$  удобно рассмотреть частное:

$$\frac{U_m(x)}{U_{M1}} = z^n e^{-x_0(z-1)} W_{m-1}, \quad (10)$$

где  $z = x/x_0$ ;  $W_{m-1} = P_{m-1}(zx_0)/P_{m-1}(x_0)$ .

Если в равенстве (10) положить  $U_m(x)/U_{M1} = \psi$  и потом взять логарифм, то получится удобная для процесса (8) запись (9), где для функции  $\phi(z)$  получается:

$$\phi(z) = \frac{1}{x_0} \ln(z^n/W_{m-1}) + \frac{1}{x_0} \ln \frac{1}{\psi} + 1.$$

Исследование первой производной выражения (11) показывает, что  $|\phi'(z)| < 1$  для значений  $z_i^m$ , определяемых общим соотношением  $z_i^m = x_i^m/x_0^m$  ( $i=0,1,2$ )  $i=0,\dots,m-1$ , где  $x_i$  – корни уравнения  $U'_m(x) = 0$  в возрастающем по  $i$  порядке.

Как и следовало ожидать, учитывая характер зависимостей  $U_m(x)$ , условие сходимости процесса (8):  $|\phi'(z)| \leq q < 1$  выполняется для любого

$$z > \max(z_0, z_1, \dots).$$

В приведенной программе для вычисления величин  $t_p(\psi)$  и  $t_b(\psi)$  ошибка в их определении оценивается на каждой итерации проверкой условия

$$|z_{k+1} - z_k| < \frac{1 - q_k}{q_k} E,$$

где

$$q_k = \max[|\phi'(z_k)|, |\phi'(z_{k+1})|].$$

Величина  $E$  определяет абсолютную ошибку в значении  $t_p(\psi)$ ,  $t_b(\psi)$ .

```

PROGRAM COPSI
E=.00I
B=I.
DO 5 I5=I,5
B=B*IO.
PRINT 1000,B
1000 FORMAT(30X,5H B=,E20.10)
BO=LOGF(B)
DO 5 J5=I,10
J5I=J5
AN=FLOATF(J5I)
S=SQRTF(2.+AN)
FIO=ACOSF(I./S)
PRINT 1001,AN
1001 FORMAT(30X,5H AN=,E20.10)
DO I I=I,3
Z0=ZOF(I,AN,FIO)
OMEGA=OMF(I,AN,FIO)
ZIT=2.*AN+2.)/Z0
BOI=BO/Z0+I.
PRINT 1002,ZIT
1002 FORMAT(20X,5H IO=,E20.10)
Q=0.
DO 2 J=I,25
W=OMEGA*WMF(I,AN,ZIT*Z0)
WI=ABSF(W)
ZITI=LOGF((ZIT*AN)*WI)/Z0+BOI
S=(ZITI*AN)*W*EXP(-Z0*(ZITI-I.))
SI=ABSF(ZITI-ZIT)
QI=DWMF(1,AN,ZITI,Z0,W,OMEGA)/Z0
IF(Q-QI) 3,3,4
3 Q=QI
4 QI=((I.-Q)/Q)*E
ZIT=ZITI*Z0
PRINT 1003,SI,S,ZITI,ZIT
ZIT=ZITI
1003 FORMAT(10H /Z-Z/=,E20.10,10H U/UMAX=,E20.10,
          *10H Z=,E20.10,10H X=,E20.10)
IF(SI-QI) 1,I,2
2 CONTINUE
1 CONTINUE
5 CONTINUE
END
FUNCTION ZOF(I,AN,FIO)
II=I
GO TO(1,2,3),II
1 ZOF=AN
RETURN
2 ZOF=AN+I.-SQRTF(AN+I.)
RETURN
3 ZOF=AN+2.-2.*SQRTF(AN+2.)*SINF(.523599+FIO/3.)
RETURN
END
FUNCTION OMF(I,AN,FIO)
II=I
GO TO(1,2,3),II
1 OMF=I.
RETURN
2 OMF=I./SQRTF(AN+I.)
RETURN

```

```

3 OMF=I./(4.*(AN+2.)*(SINF(.523599+F10/3.)*2-.25))

RETURN

END

FUNCTION WMF(I,AN,Z)

II=I

GO TO(I,2,3),II

I WMF=I.

RETURN

2 WMF=AN+I.-Z

RETURN

3 WMF=(AN+I.)*(AN+2.)+Z*(Z-2.*(AN+2.))

RETURN

END

FUNCTION DWMF(I,AN,ZITI,ZO,W,OM)

II=I

Z=ZITI-ZO

ZI=AN/ZITI

GO TO(I,2,3),II

I DWMF=ZI

RETURN

2 DWMF=ZI-ZO*OM/W

RETURN

3 DWMF=ZI+2.*(Z-AN-2.)*OM/W

RETURN

END

```

Программа вычисляет  $t_p(\psi)$ ,  $t_b(\psi)$  при следующих значениях параметров

$$m = 1, 2, 3; \quad n = 1 + 10; \quad \psi = 10^{-1} + 10^{-4}.$$

При желании эти параметры, как и величина ошибки  $E$ , могут быть изменены. Тем самым расширяется область значения параметров.

Программа выдает на печать:

для каждого  $\psi$ :  $\psi$  и

последовательно все значения  $n$ .

Для каждого  $n$  последовательно для каждого  $m$ :

значение  $z^m$

в 4 столбца под  $z^m$ :

а) первый столбец -  $/z_{k+1} - z_k/$

вычисленные по формуле (10)

б) второй столбец  $U_m(z) / U_m$

в) третий столбец  $z_k$

г) четвертый столбец  $z_k x_0 = x_k$

по итерациям.

Все идентификаторы в программе соответствуют принятым обозначениям, за исключением величины  $1/\psi$ , для которой использован идентификатор **B**.

#### Л и т е р а т у р а

1. А.Б. Джиллеспи. Сигнал, шум и разрешающая способность усилителей. Атомиздат, 1964.
2. К.Г. Родионов, Ли Сам Рен. Сообщение ОИЯИ, 3-3259, Дубна, 1967.
3. А.М. Зубарева, Г.Г. Субботина, В.Г. Субботин. Сообщение ОИЯИ 13-4458, Дубна, 1969.
4. E.Fairstein. IEEE Trans.Nucl. Ns-13(Feb.1966) p. 596.
5. С.И. Орманджиев. Сообщение ОИЯИ, Р13-6219, Дубна, 1972.

Рукопись поступила в издательский отдел  
7 января 1972 года.